

FIG. 2B

FIG. 1

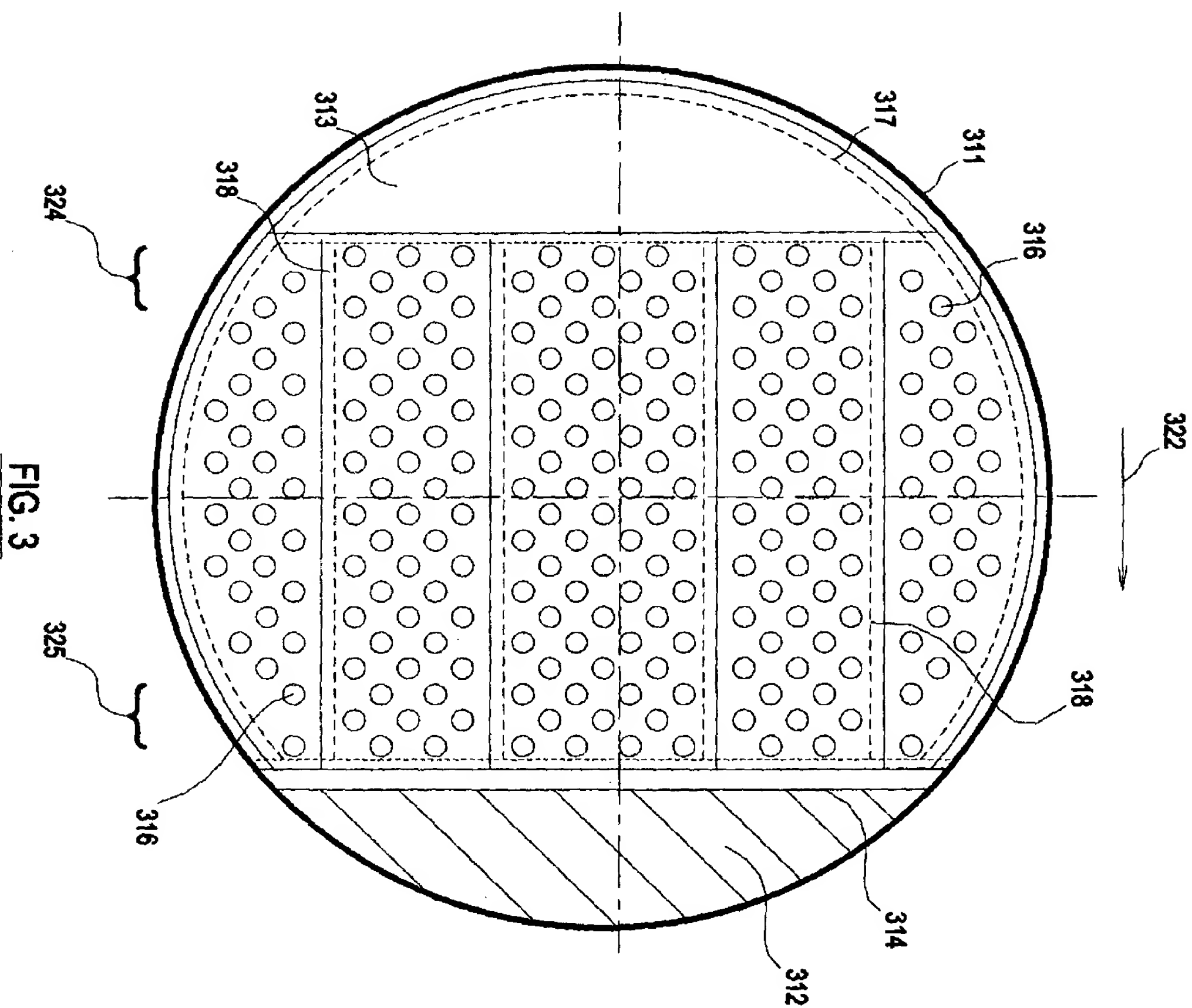


FIG. 3

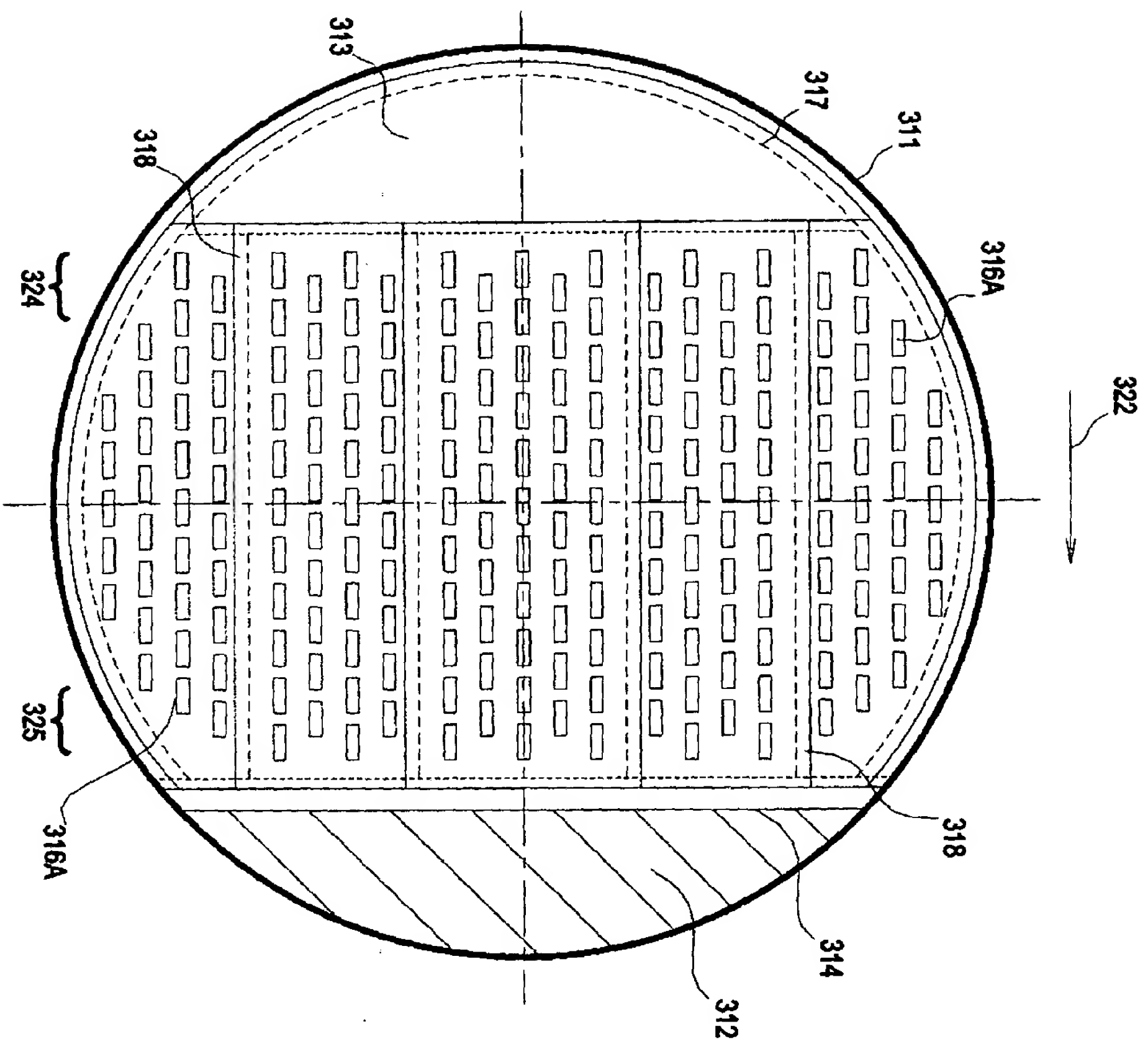
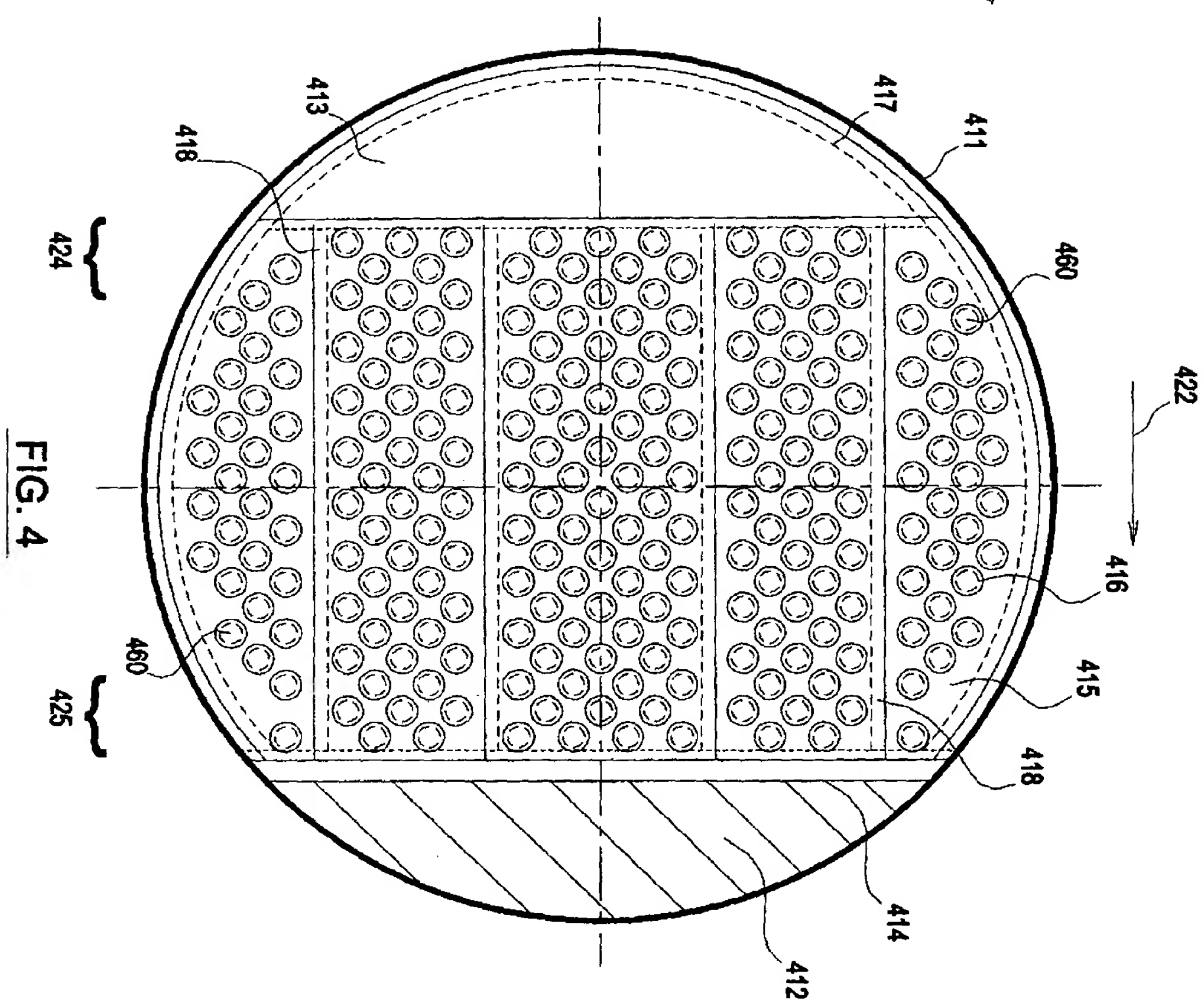


FIG. 3A



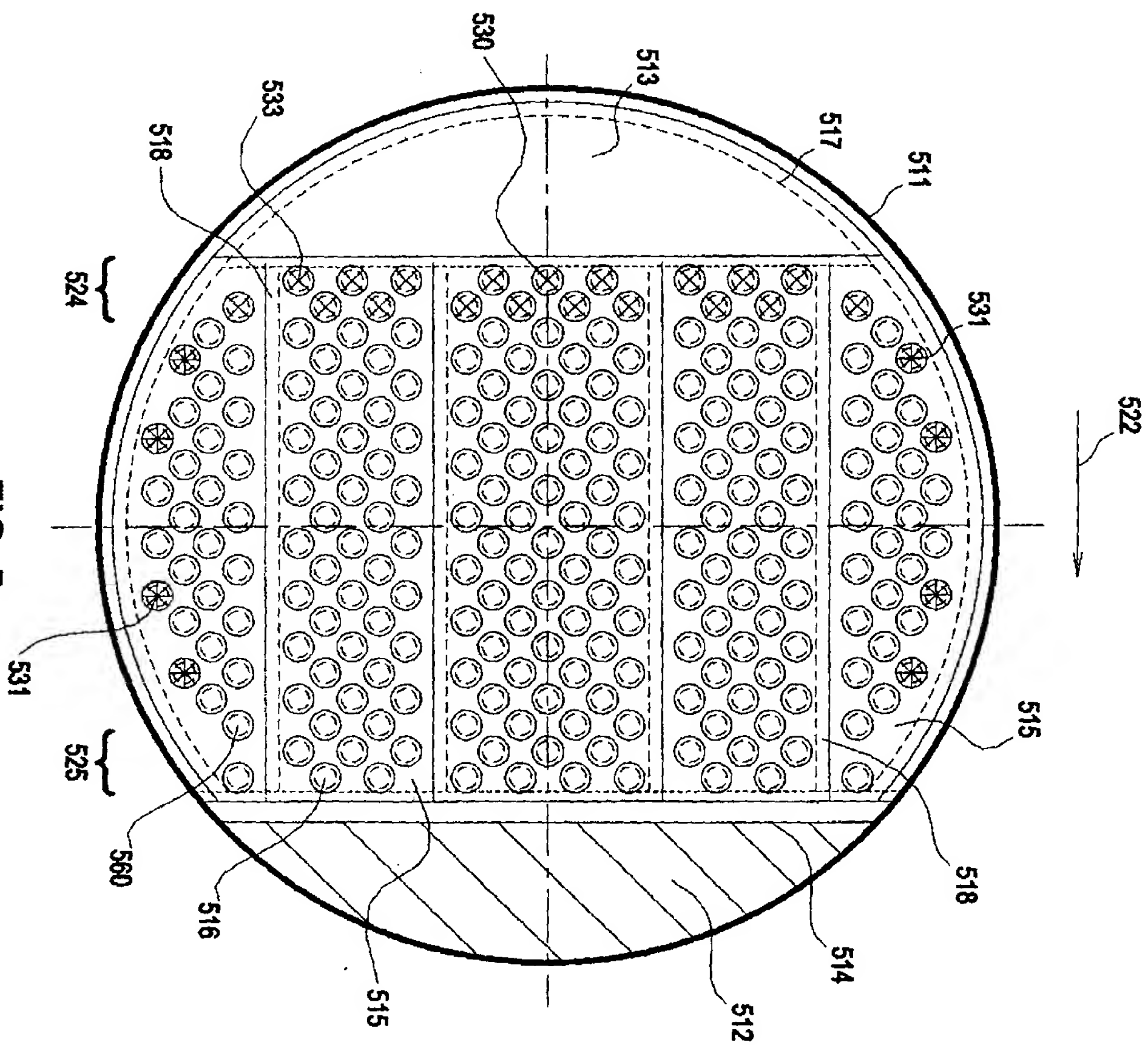


FIG. 5

FIG. 5A

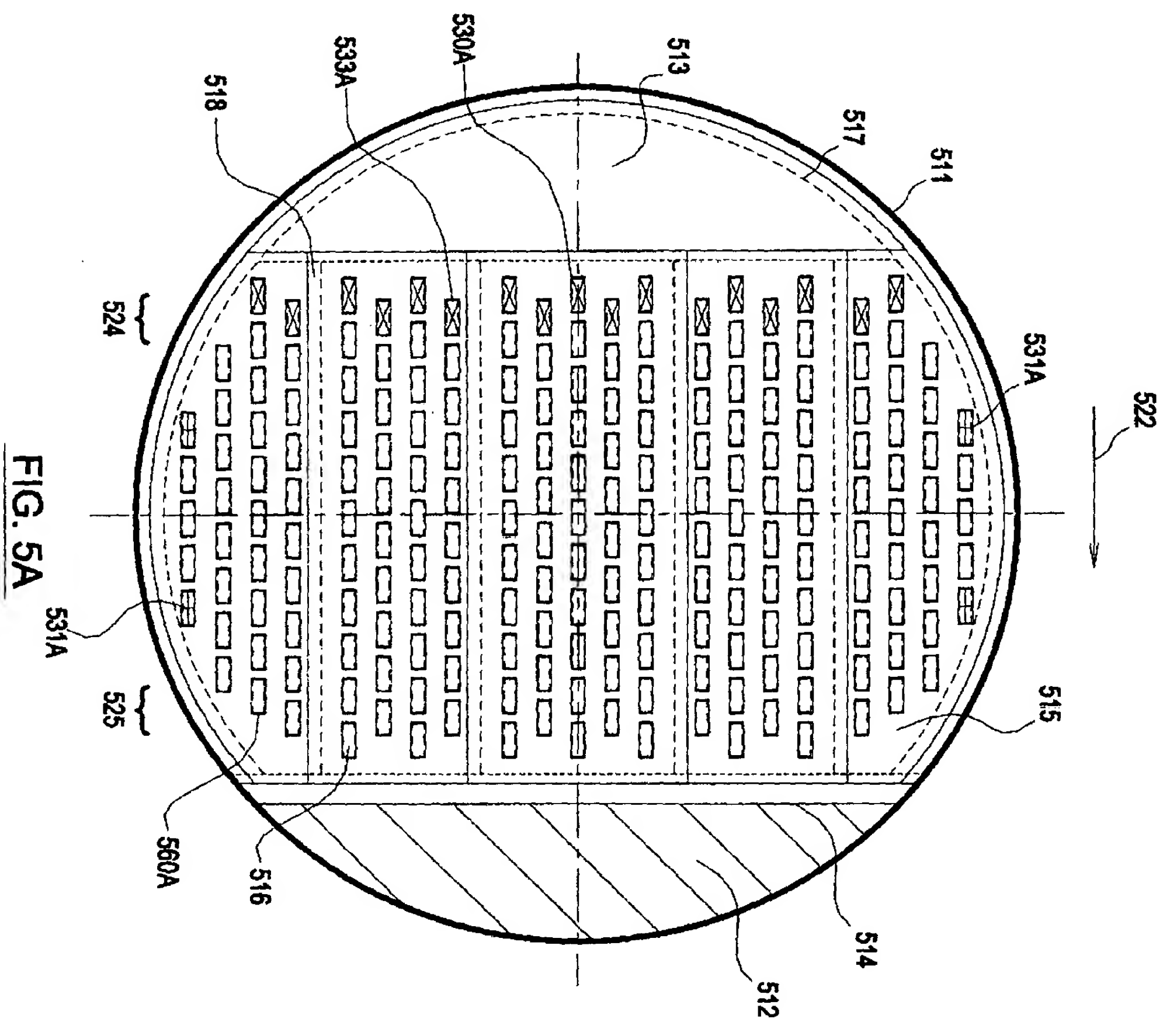




FIG. 6

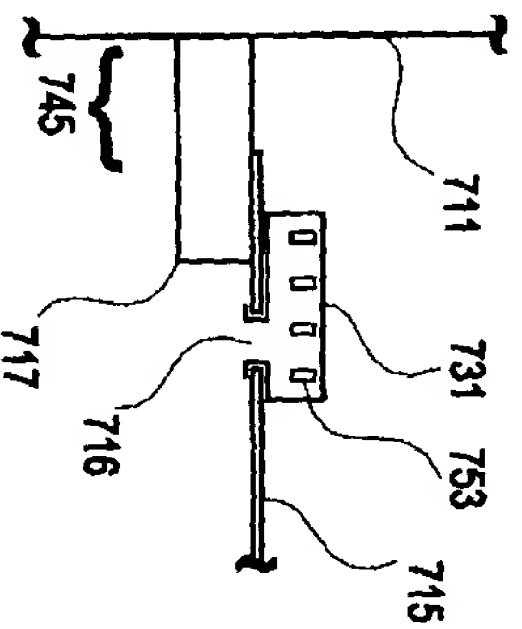


FIG. 7A

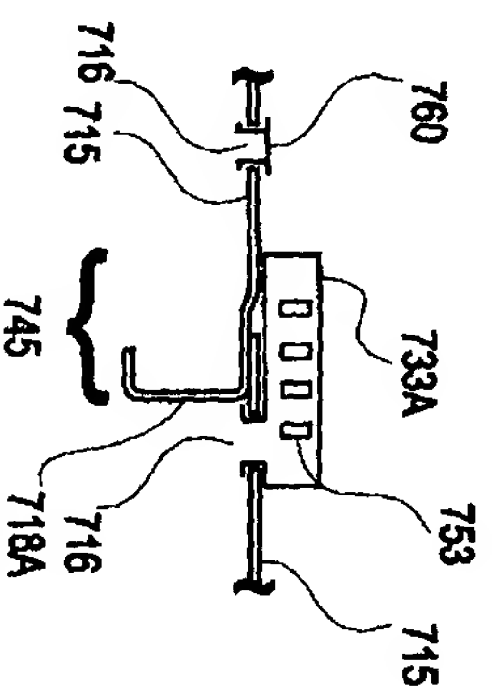


FIG. 7B

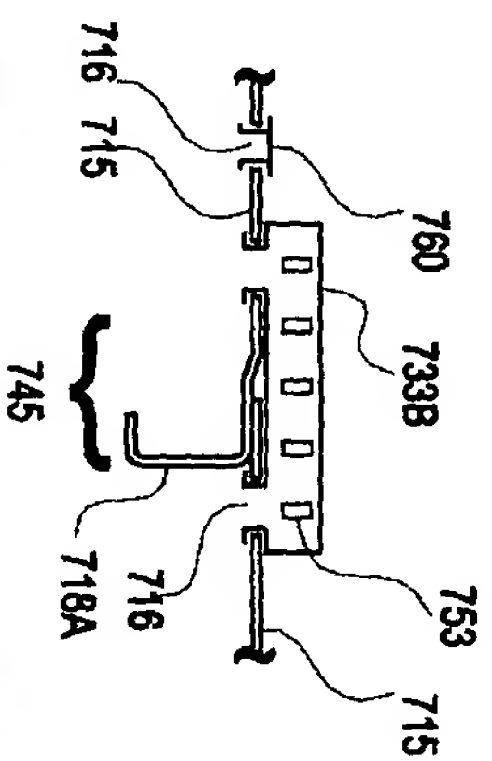


FIG. 7C

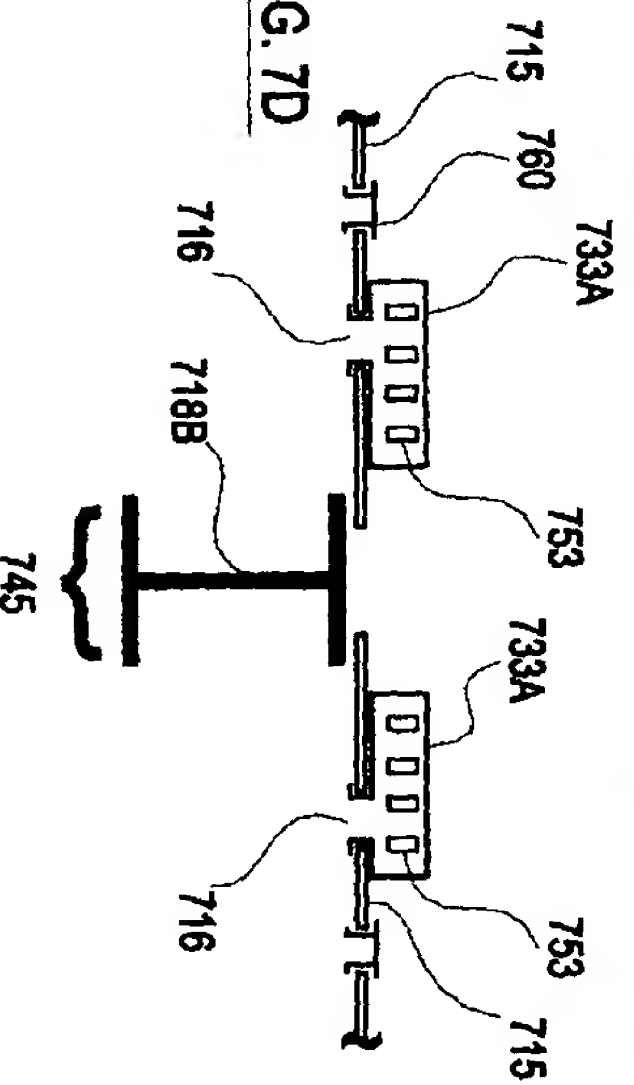


FIG. 7D

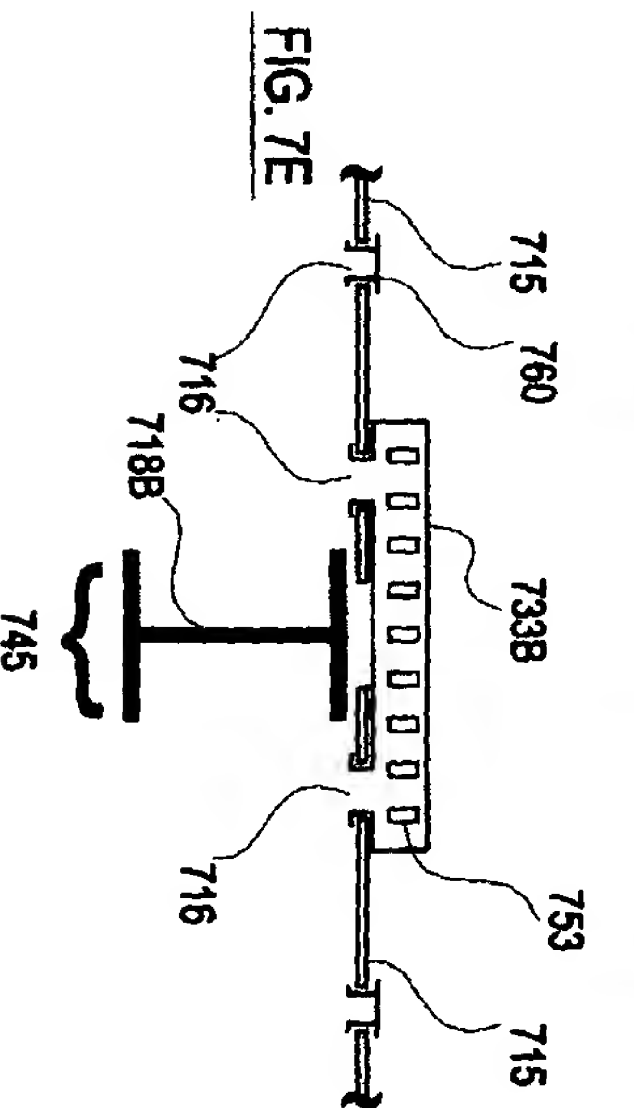


FIG. 7E

FIG. 8A

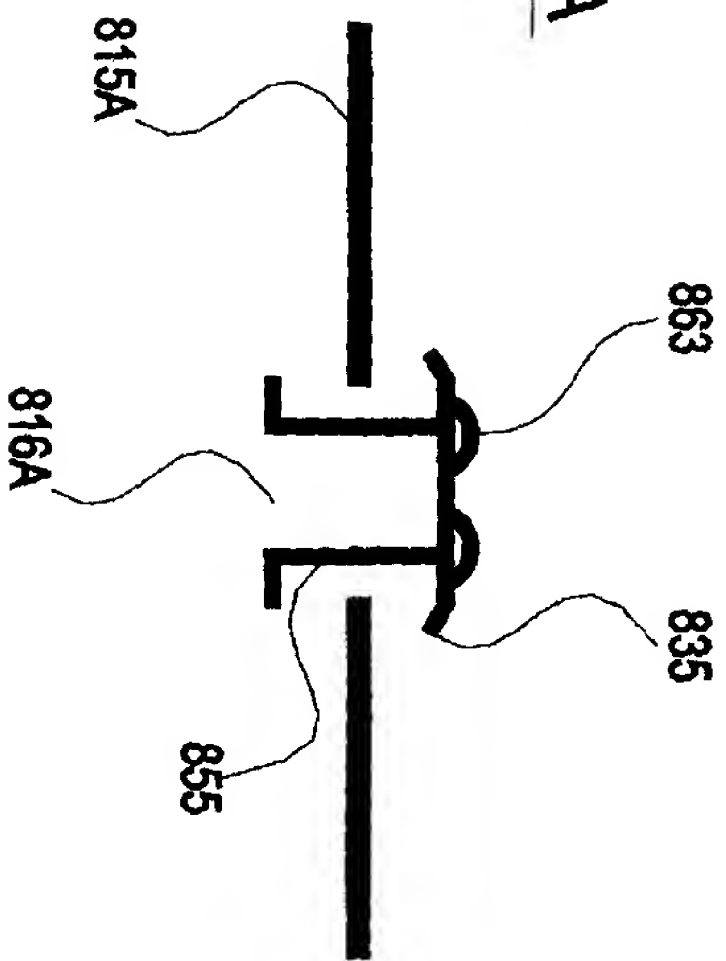
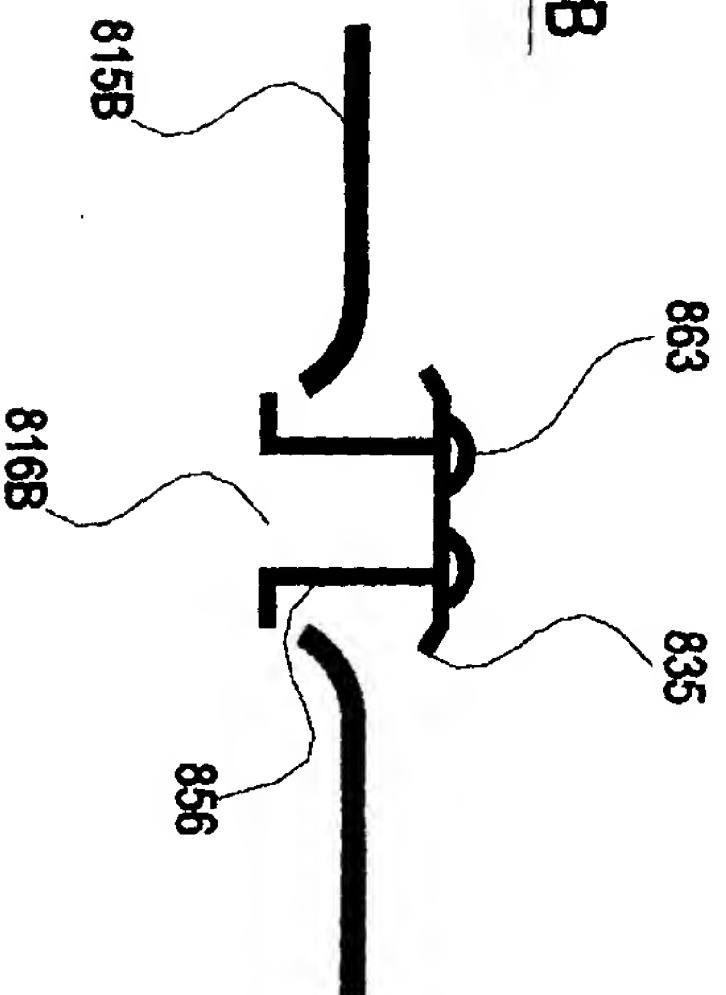


FIG. 8A

FIG. 8B



10/21

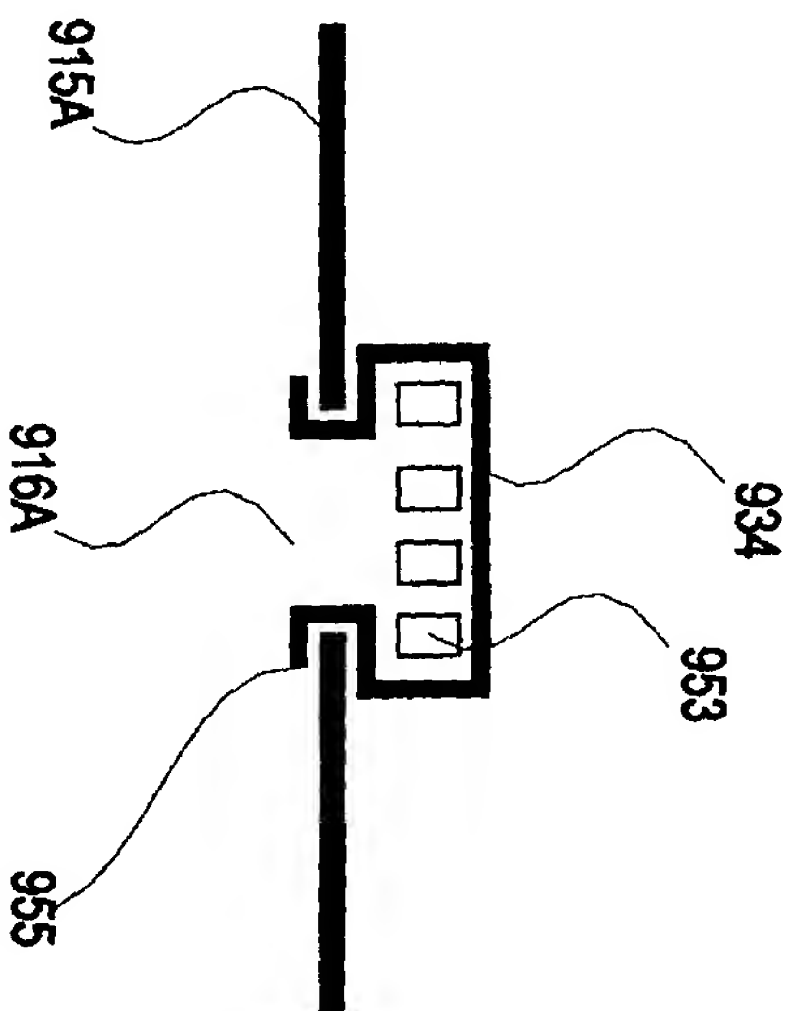


FIG. 9A

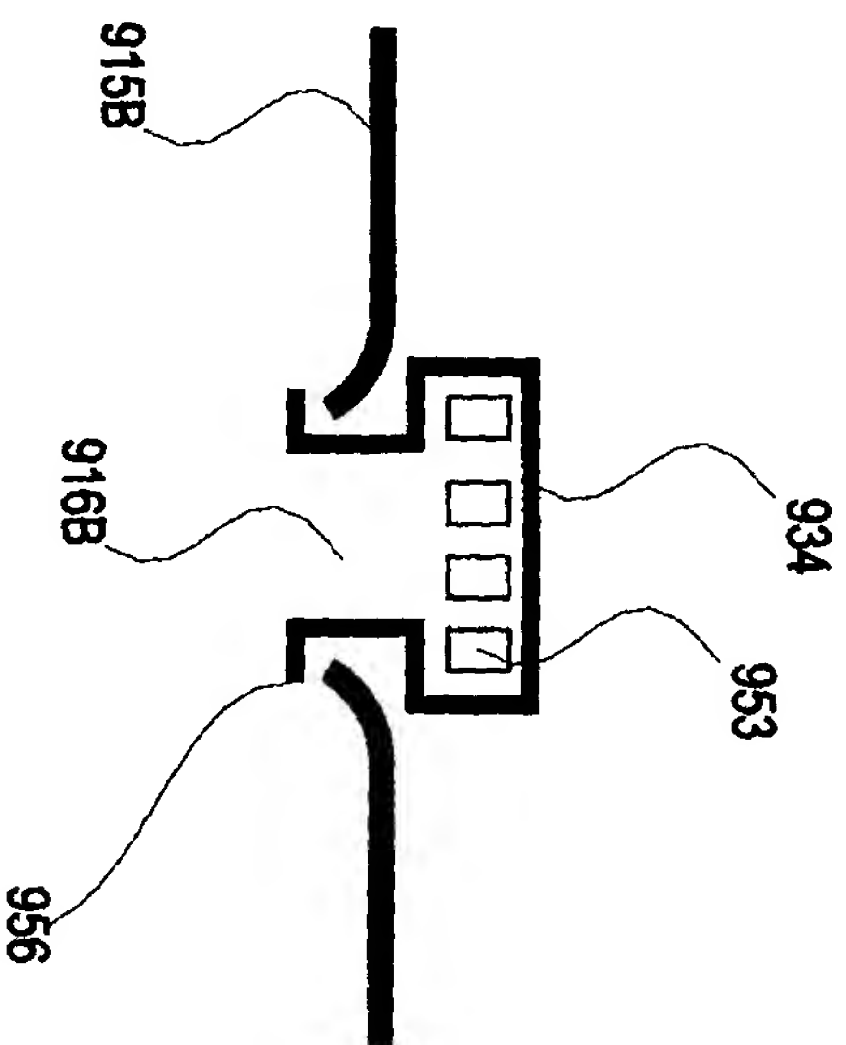


FIG. 9B

11/21

FIG. 10A

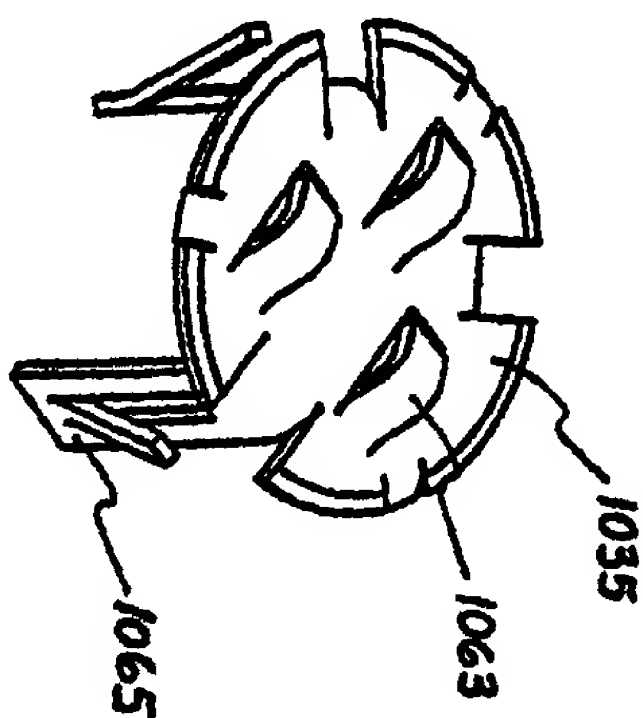


FIG. 10A

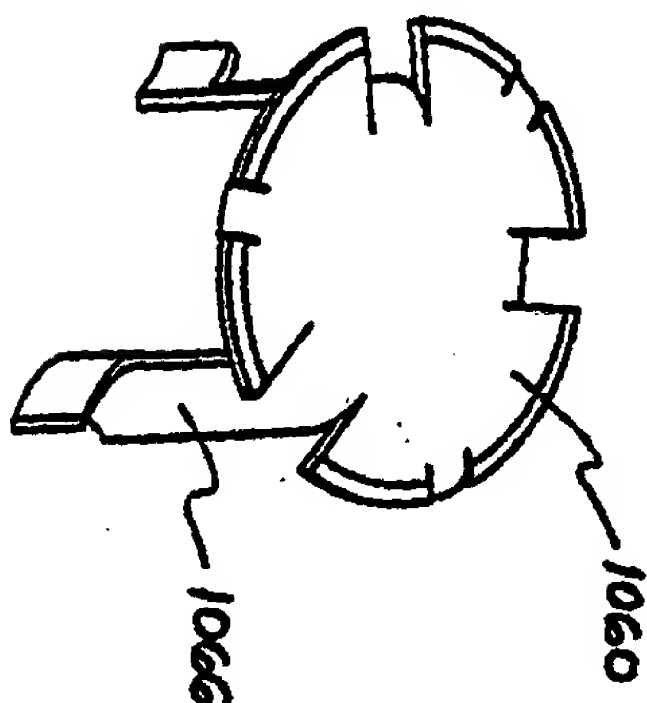


FIG. 10D

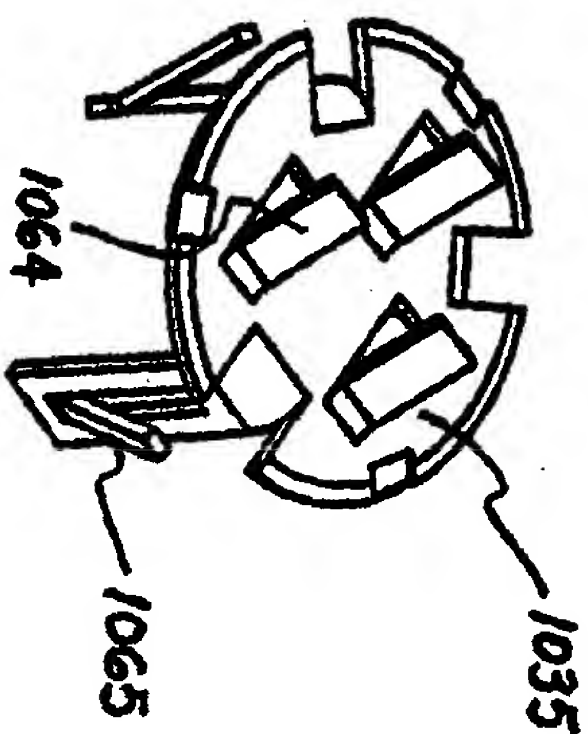


FIG. 10B

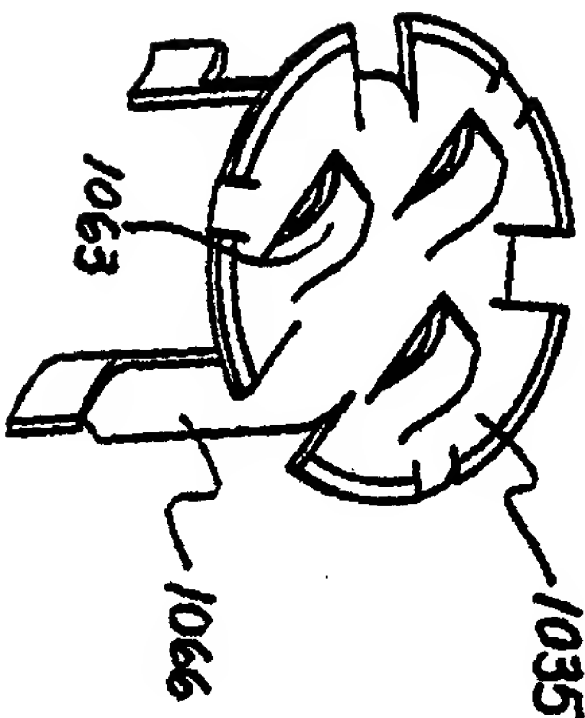


FIG. 10C

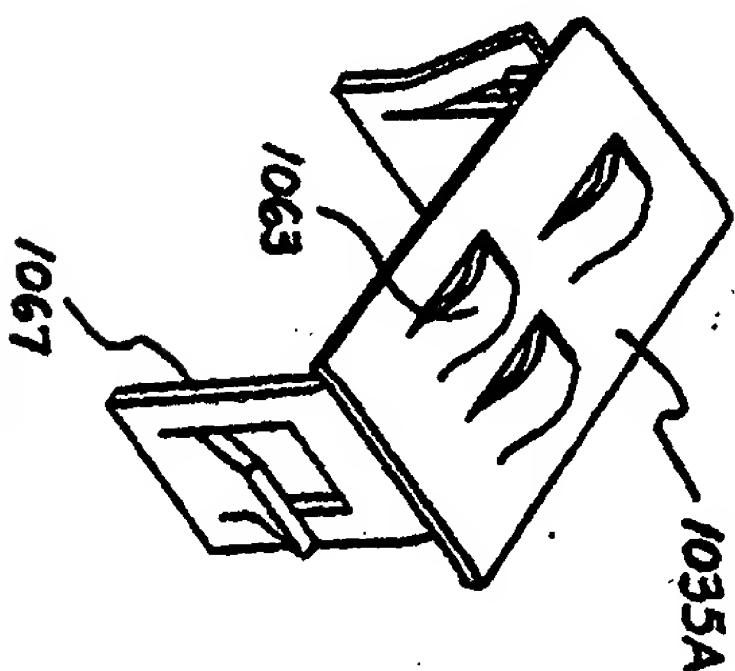


FIG. 10E

FIG. 11A is a perspective view of the device 1100 in a closed position.

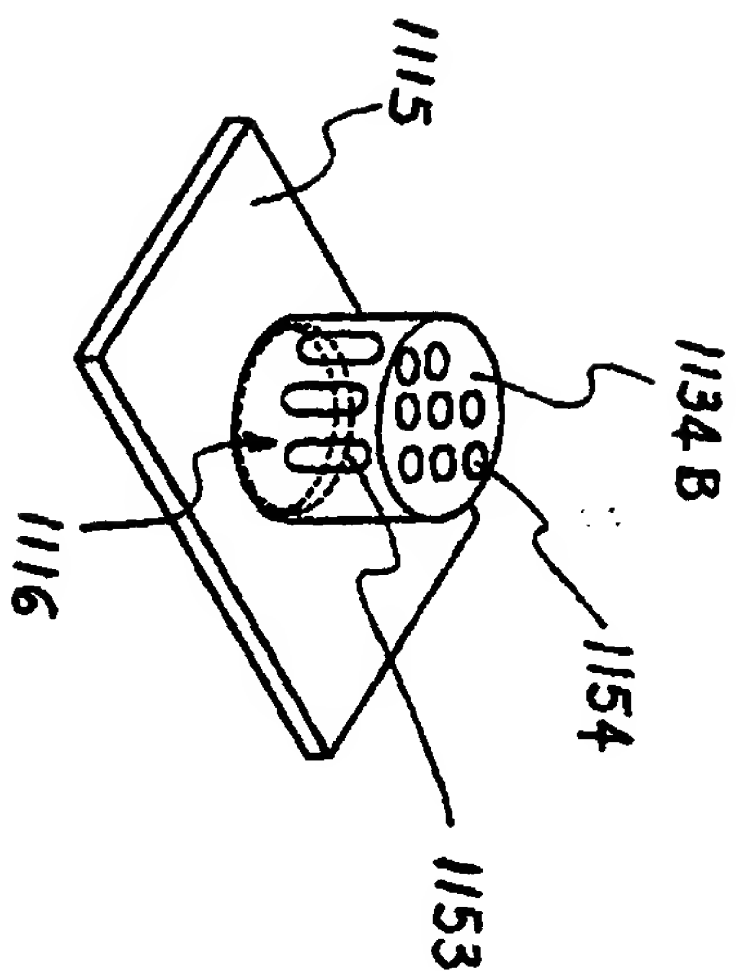


FIG. 11B

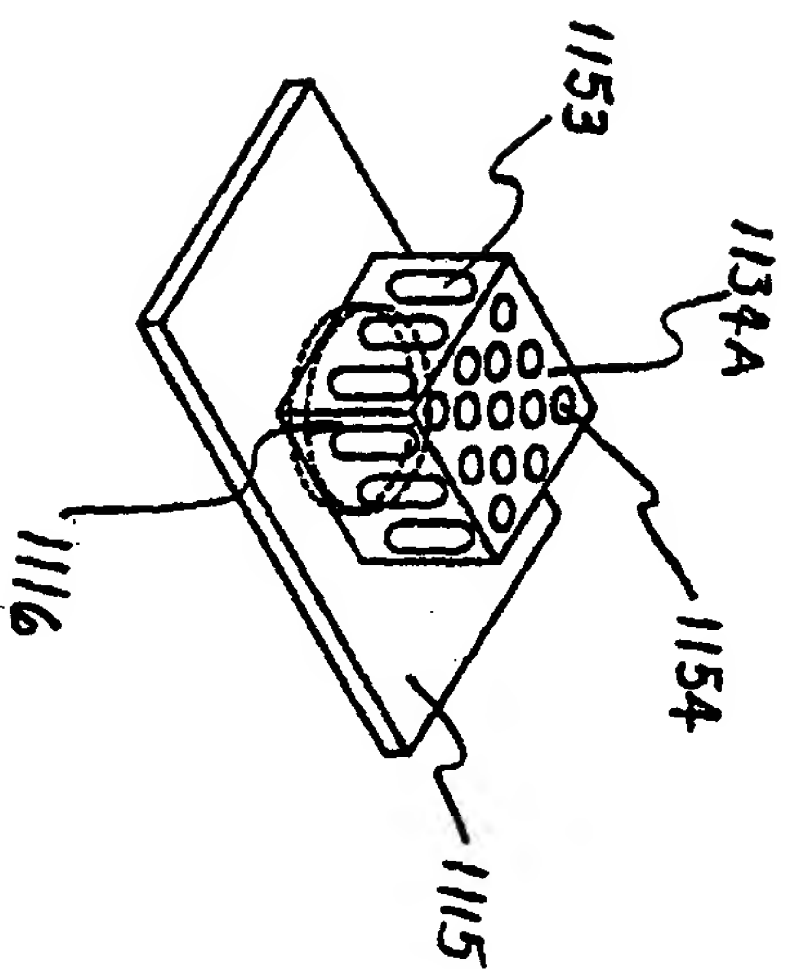


FIG. 11A

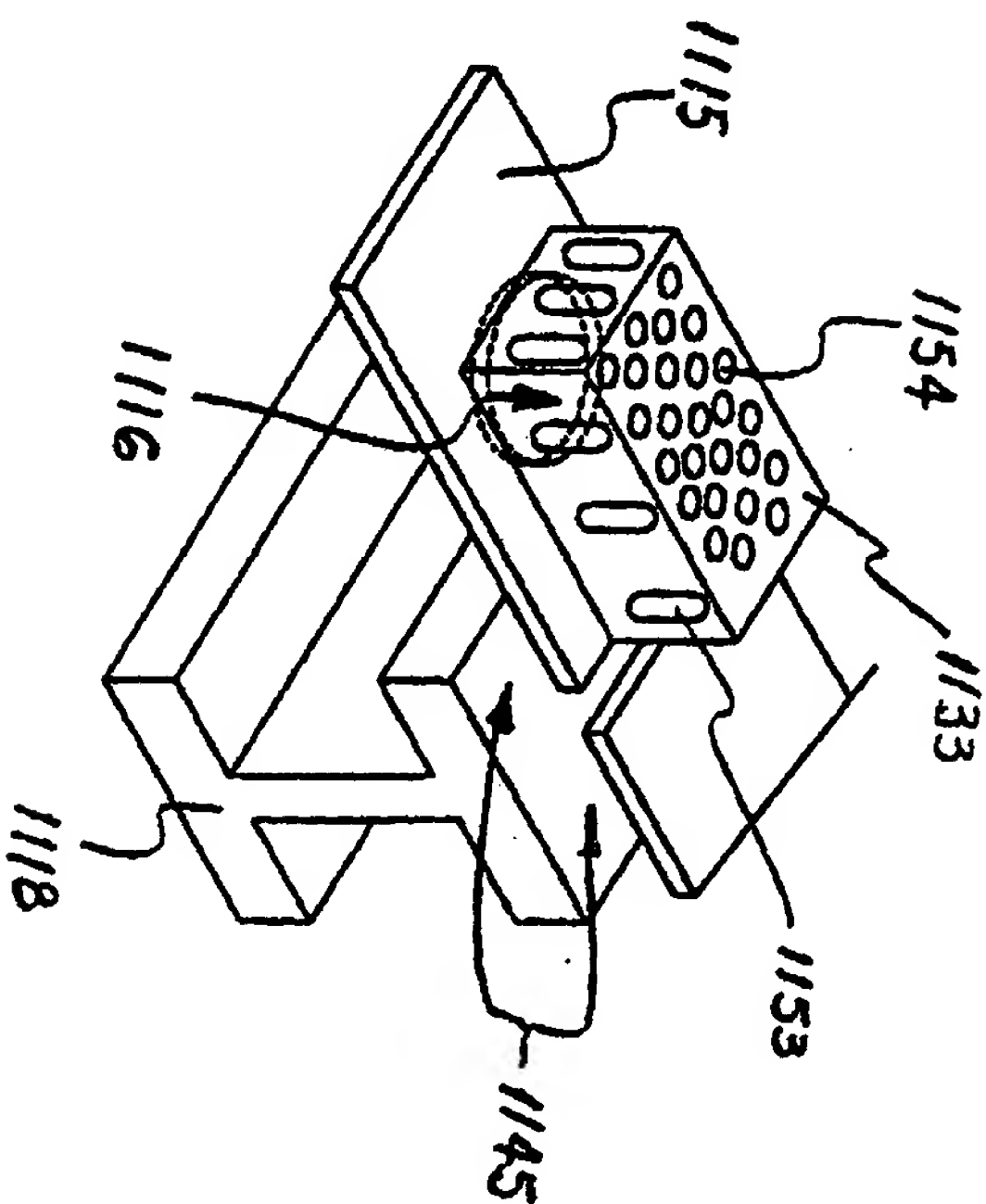


FIG. 11C

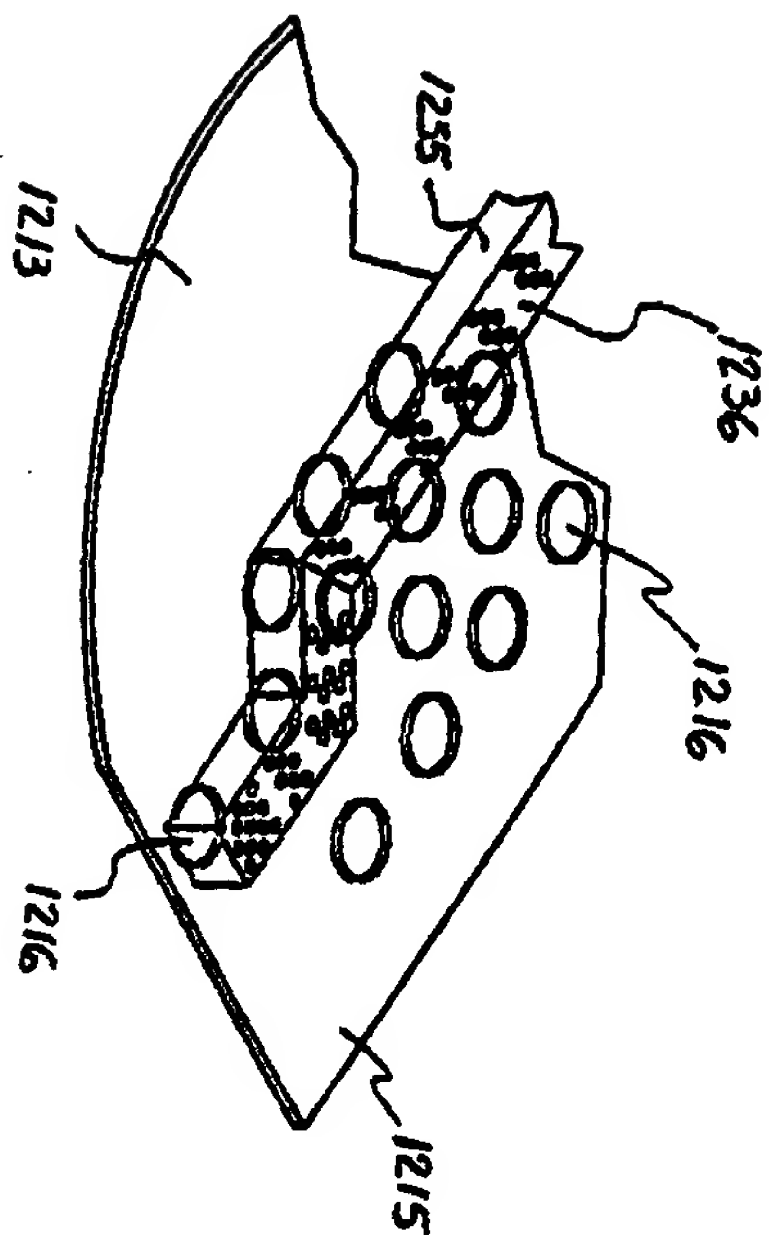


FIG. 12A

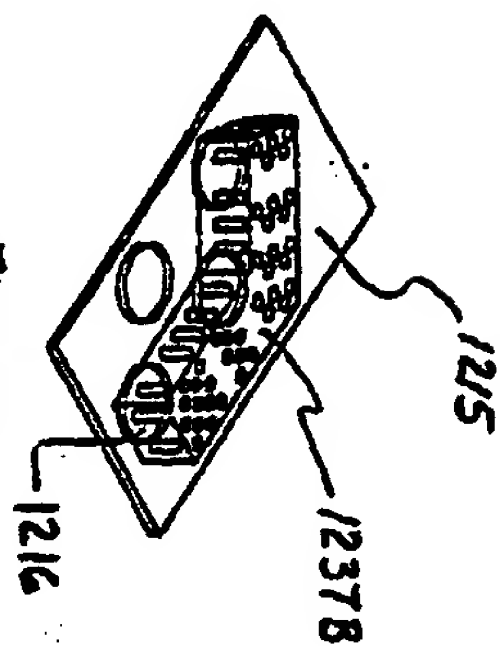


FIG. 12E

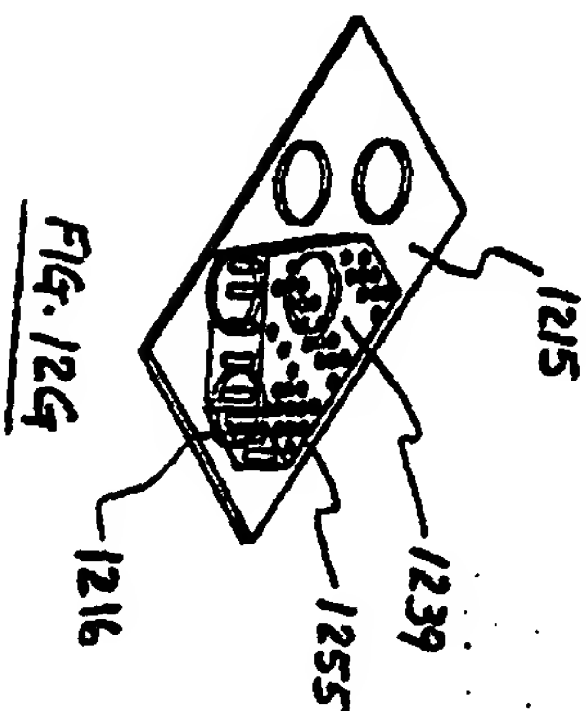


FIG. 12G

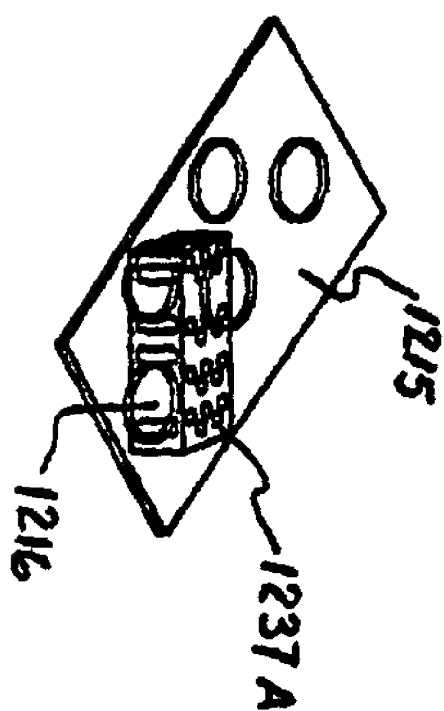


FIG. 12D

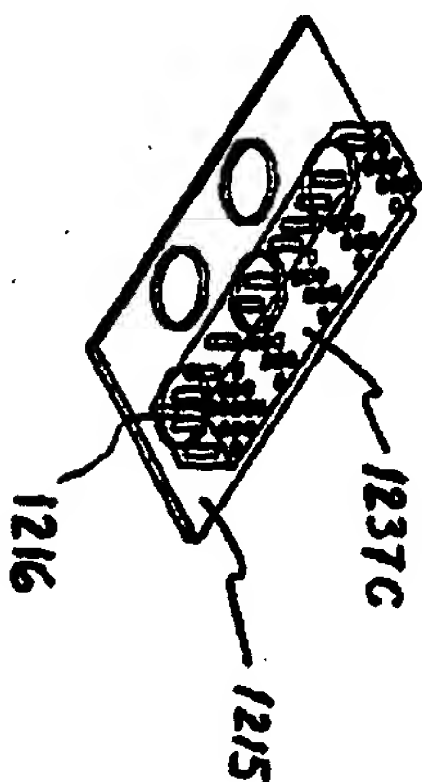


FIG. 12F

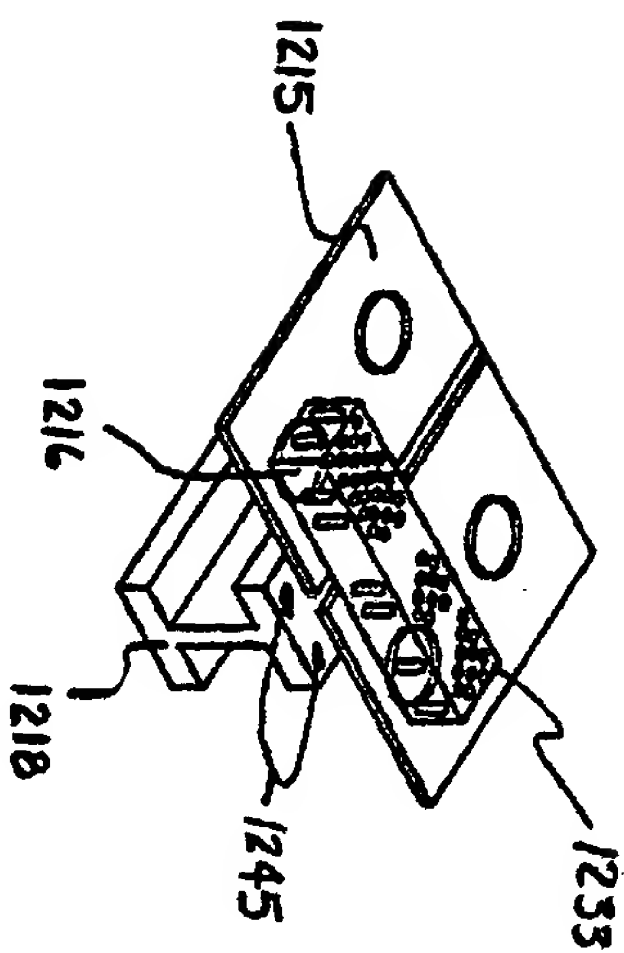


FIG. 12B

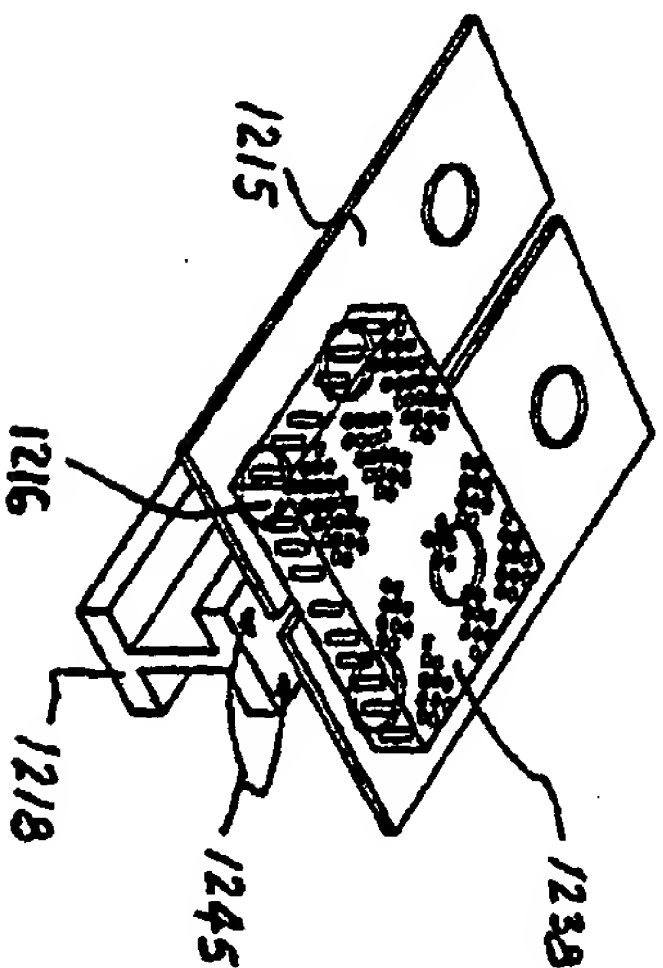


FIG. 12C

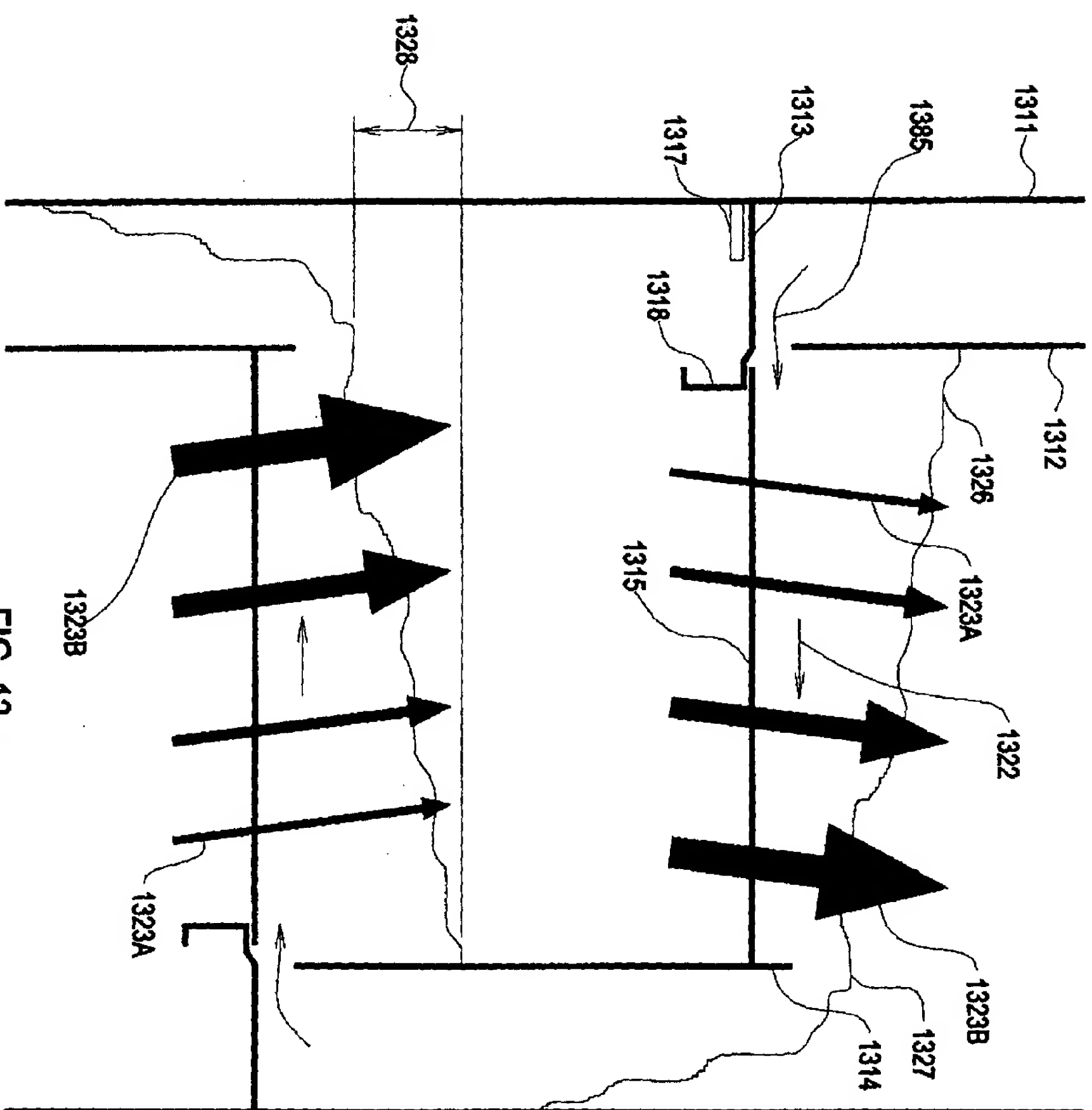
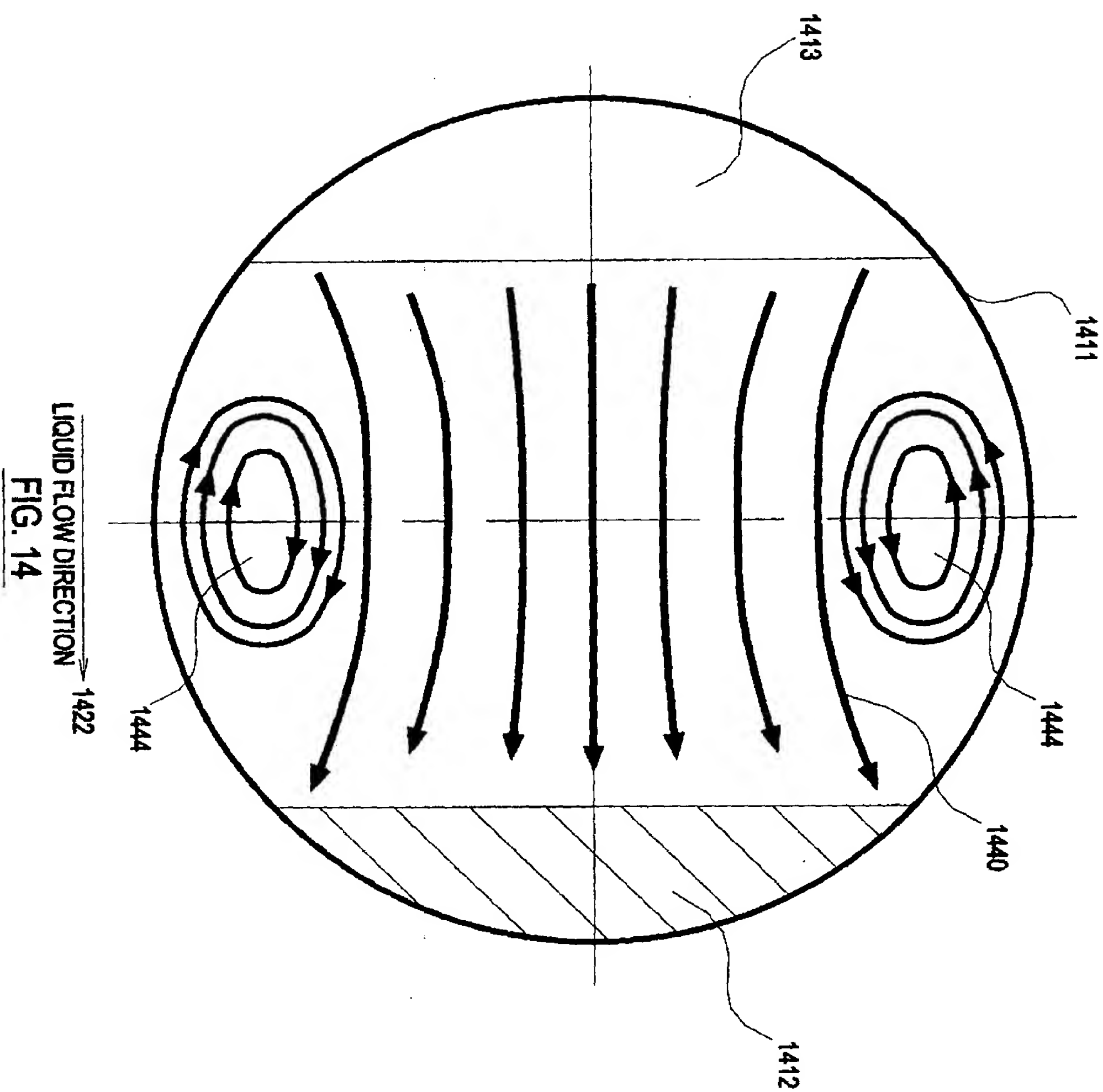
[illegible]

FIG. 13

FIG. 14



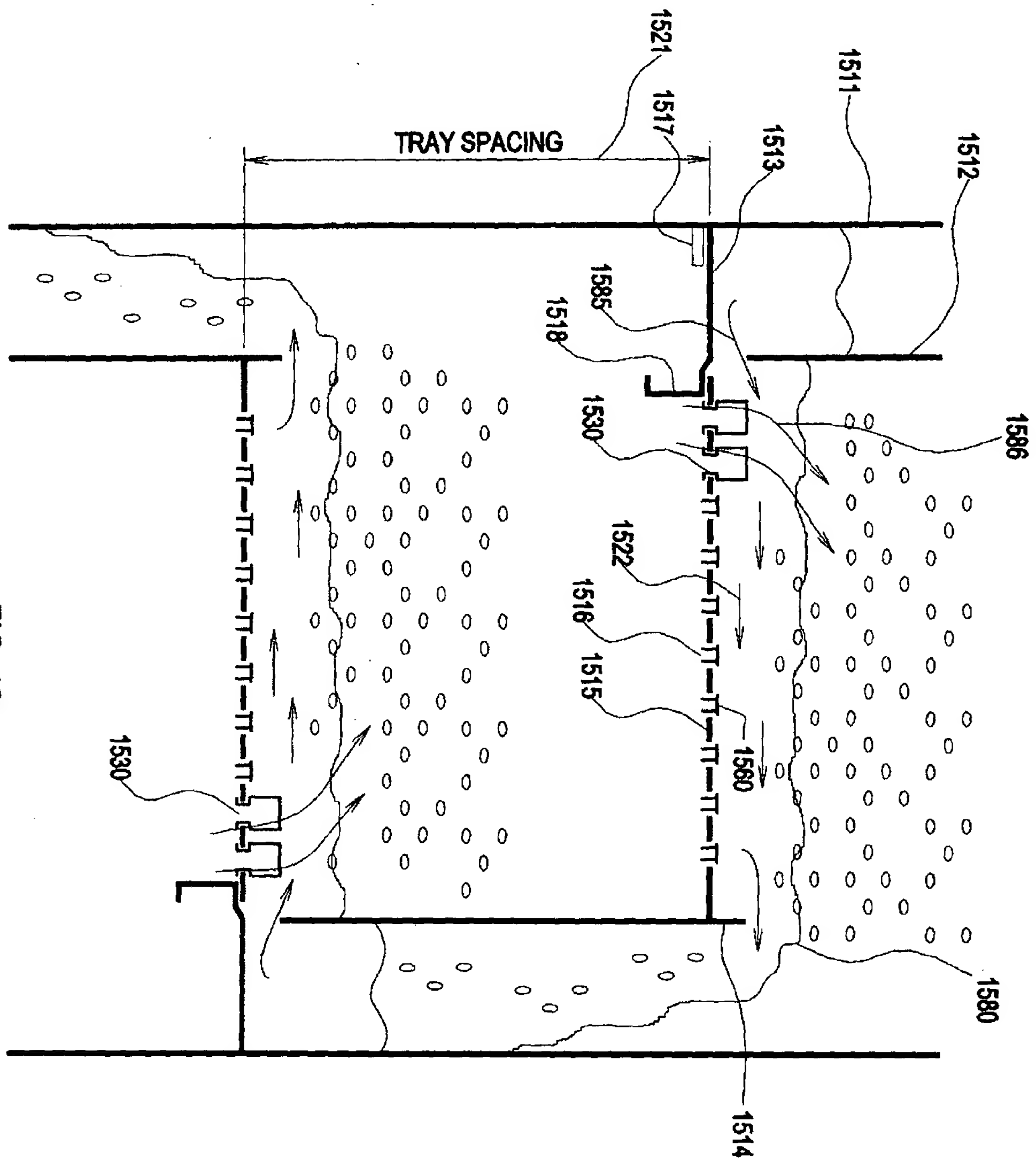


FIG. 15



FIG. 16

FIG. 17A

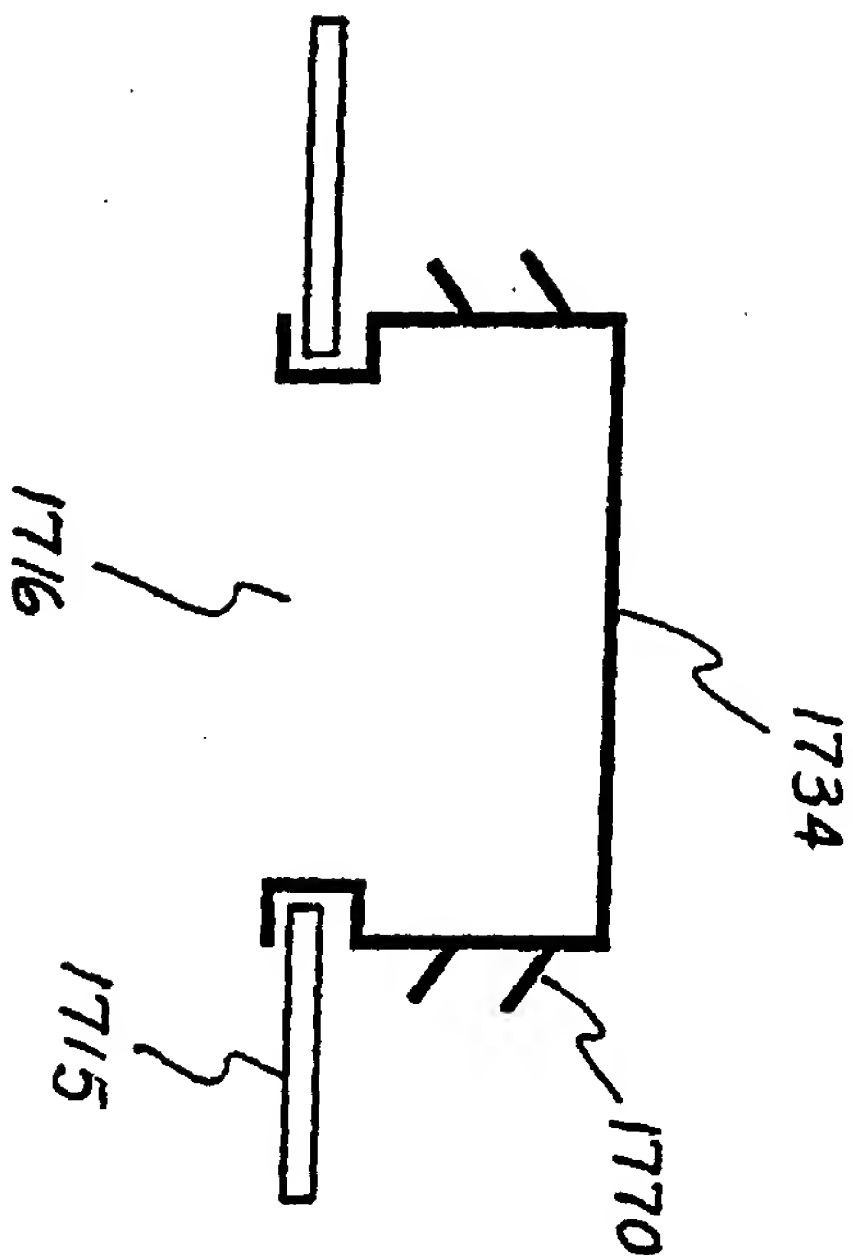
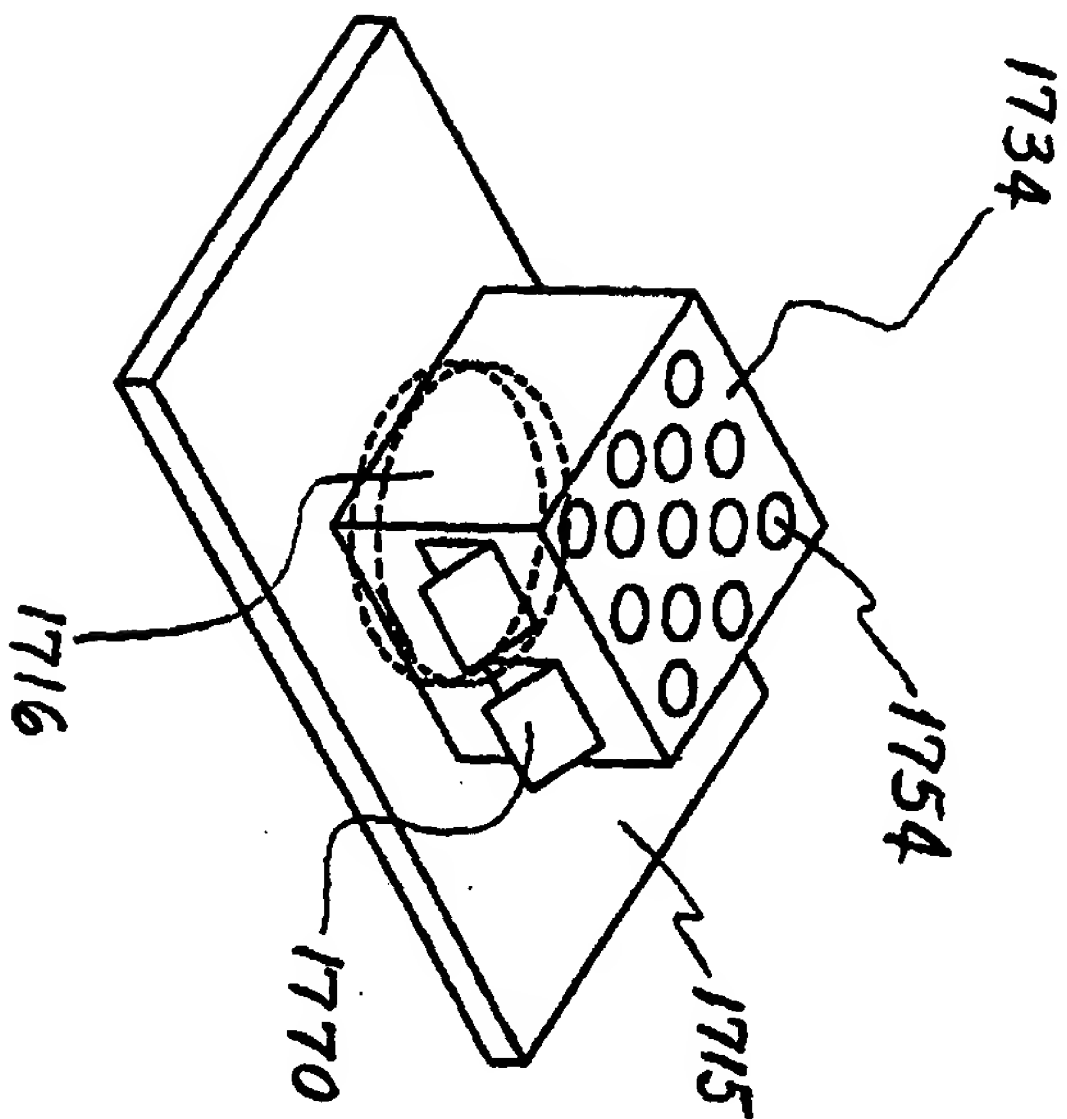
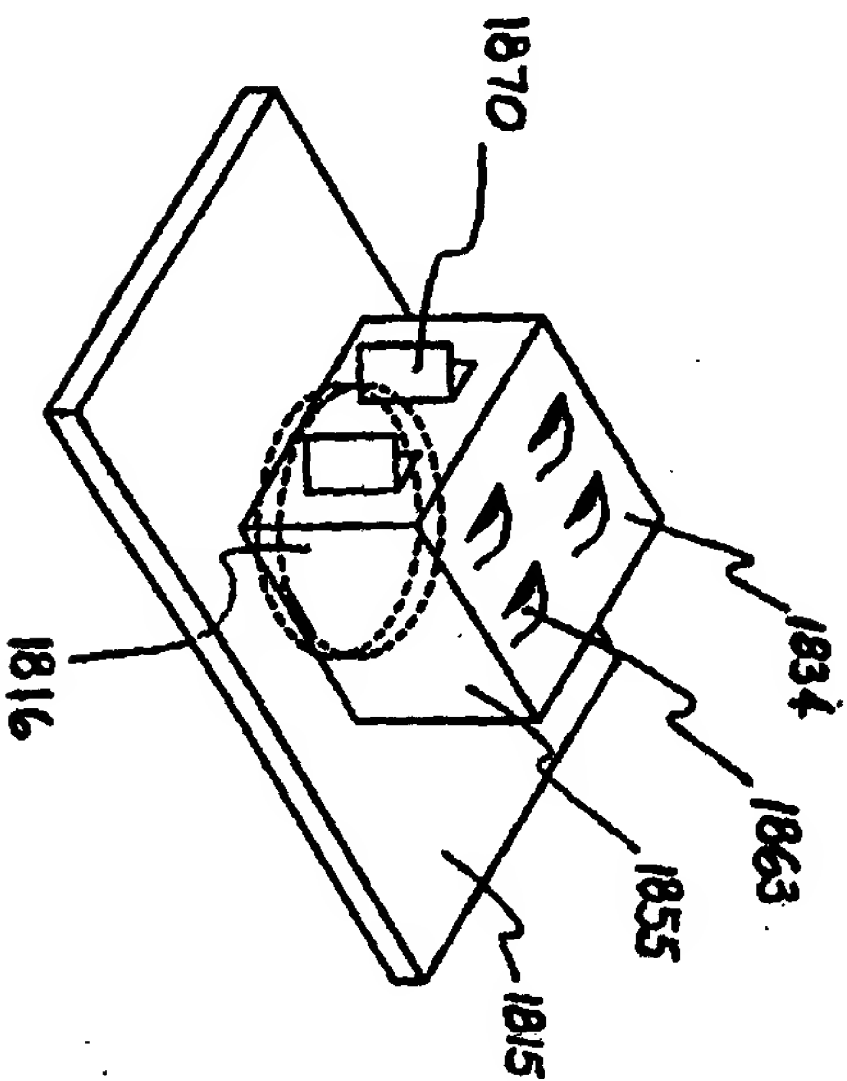
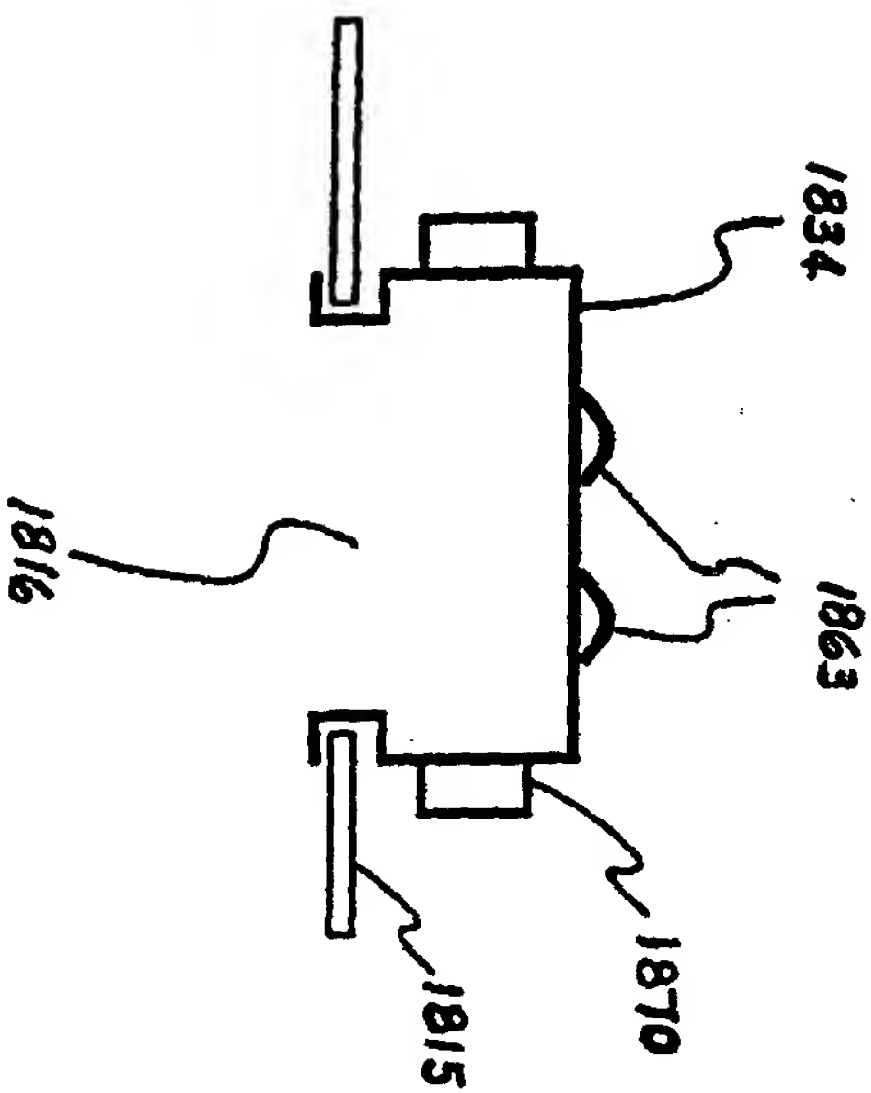
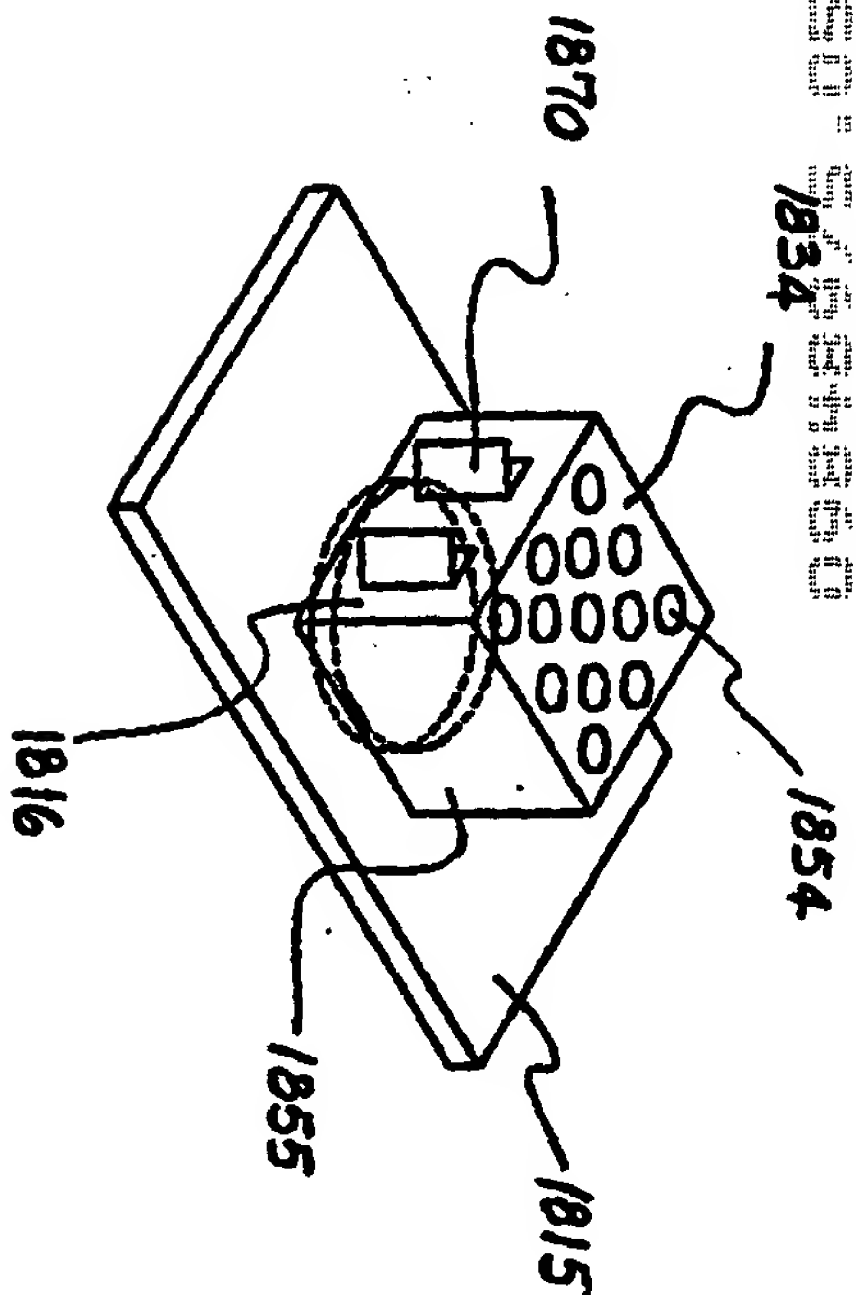
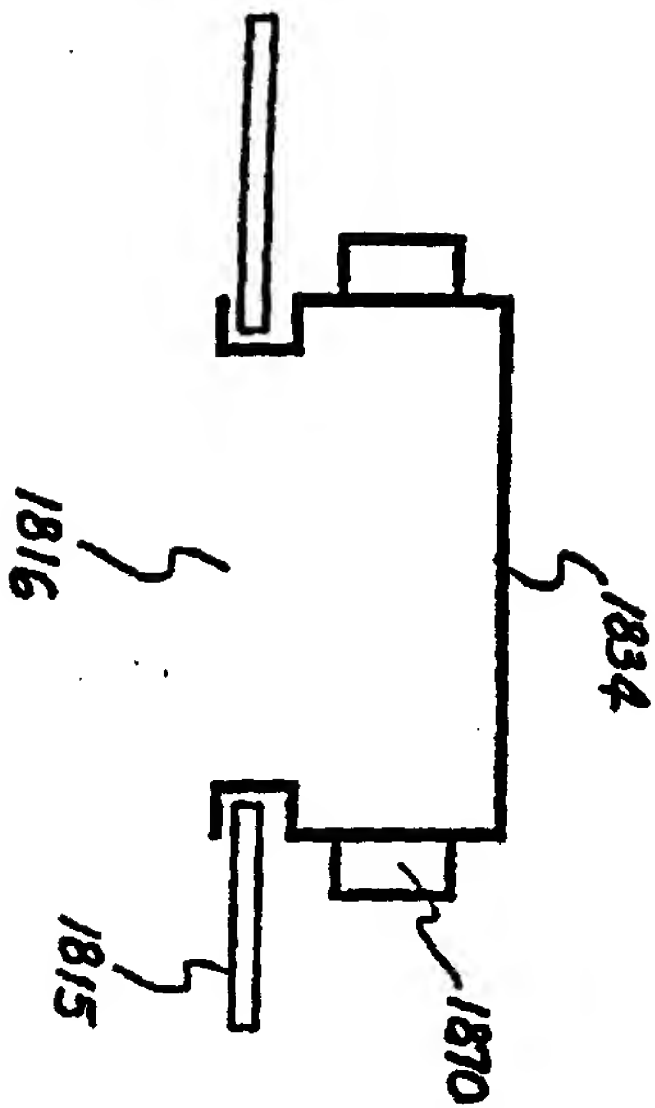


FIG. 17B





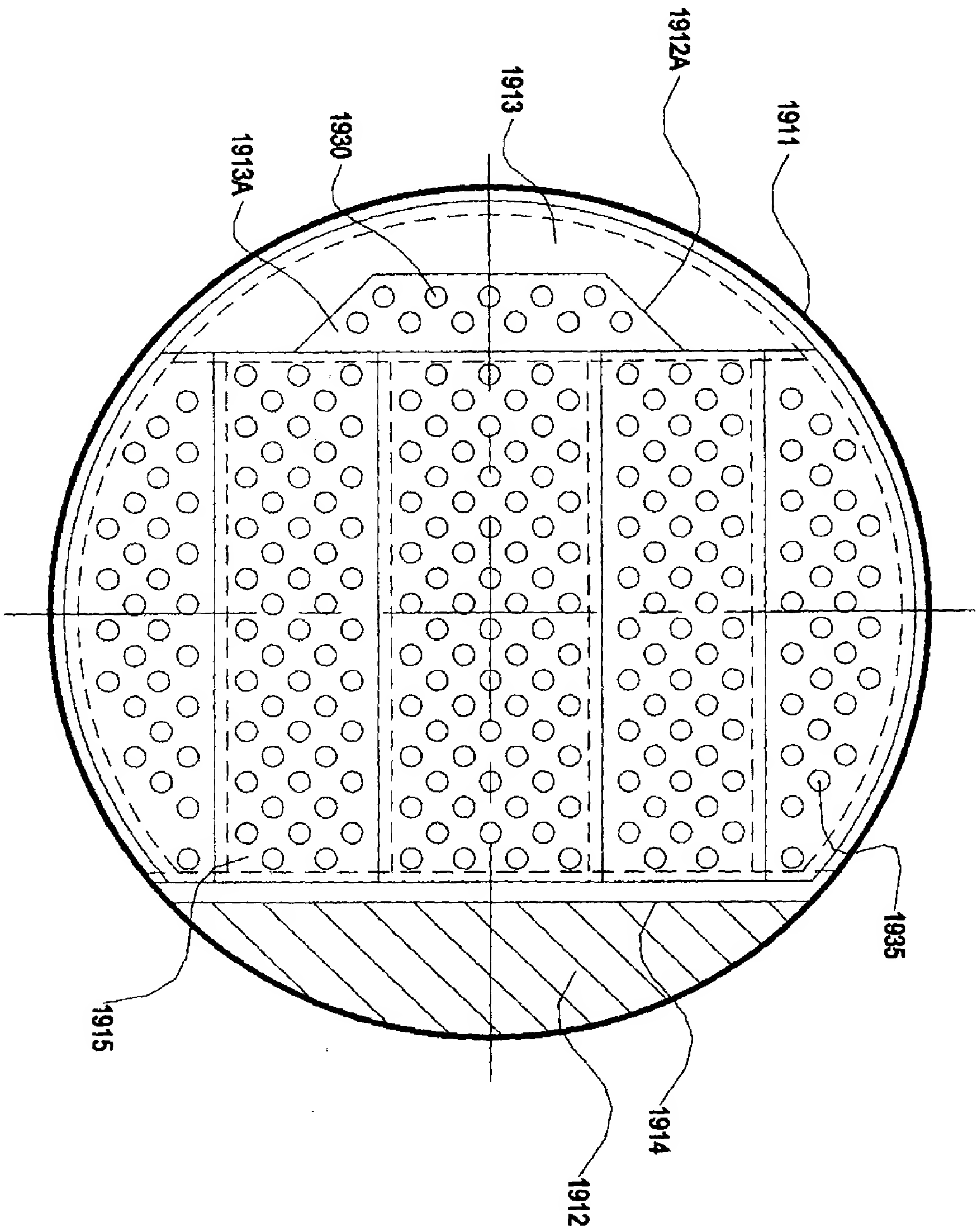


FIG. 19

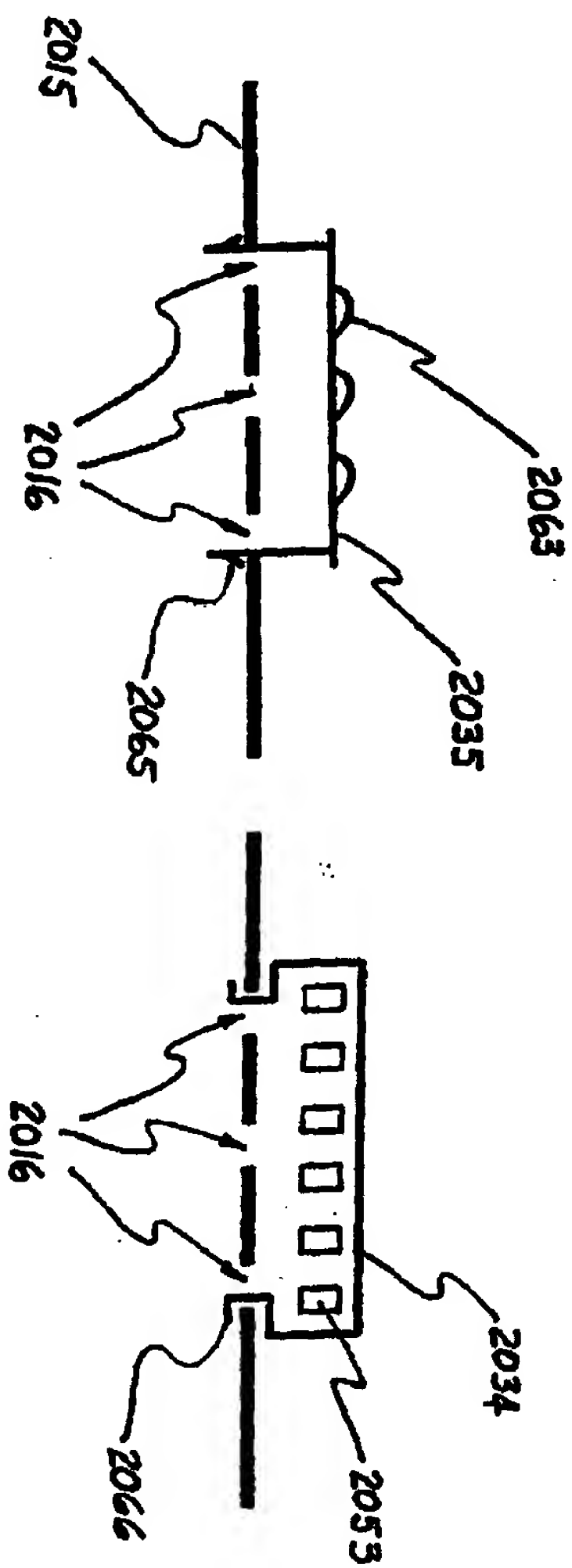


FIG. 20A

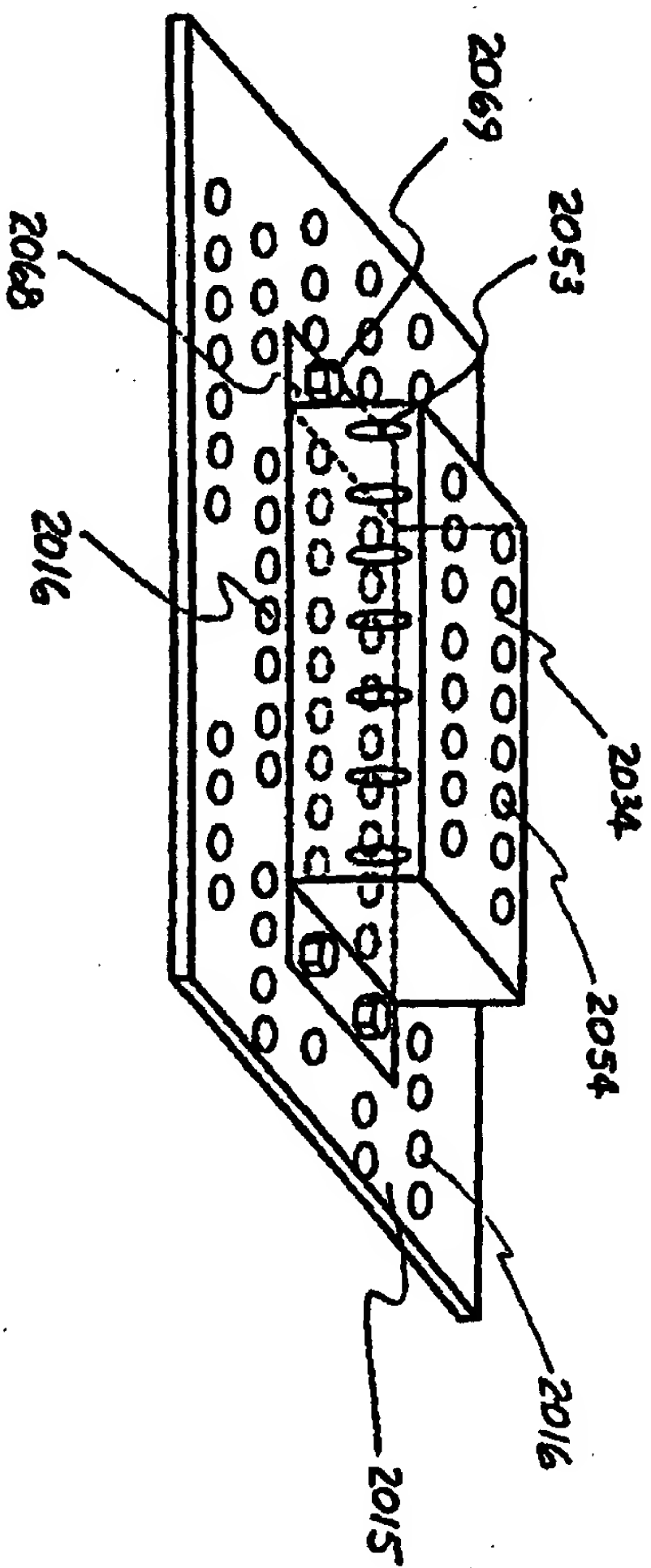


FIG. 20B